

ЖУРНАЛ СТРУКТУРНОЙ ХИМИИ

Том 40, № 4

Июль – август

1999

УДК 548.736

А.В. АРАКЧЕЕВА, М.С. НОВИКОВА, А.И. ЗАЙЦЕВ, Г.У. ЛУБМАН

ПЕРОВСКИТОПОДОБНАЯ МОДИФИКАЦИЯ $\text{Cs}_3\text{Sb}_2\text{I}_9$ КАК ПРЕДСТАВИТЕЛЬ OD -СЕМЕЙСТВА $\text{A}_3\text{B}_2\text{X}_9$

Методами РСА (дифрактометр Syntex P1, $\lambda\text{Mo}K_{\alpha}$) при $T = 285$ К уточнена структура тригональной модификации $\text{Cs}_3\text{Sb}_2\text{I}_9$. Структура отнесена к типу перовскита $\text{A}_3\text{B}_{3-x}\text{X}_9$ с упорядоченными вакансиями в B -подрешетке. Элементарная ячейка с псевдо R -центровкой имеет следующие параметры: $a = 8,435(7)$, $c = 10,390(7)$ Å, $V = 151,8$ Å³; $Z = 1$; $d_{\text{c}} = 4,67$ г/см³. Центрорисимметричная пр.гр. $P\bar{3}m1$ выбрана на основе теста генерации второй гармоники лазерного излучения. Параметры псевдоромбоздра, отвечающие перовскитовой ячейке: $a' = 5,976$ Å, $\alpha = 89,78^\circ$. R -решетку структурного типа перовскита нарушает упорядоченное отсутствие атомов Sb в одном из каждого трех I₆-октаэдров. Структурные модификации соединений $\text{A}_3\text{B}_2\text{X}_9$ рассмотрены с использованием OD -теории Дорнбергер-Шифф как члены семейства, образованного двумерно-периодическими фрагментами структуры перовскитового типа.

ВВЕДЕНИЕ

Соединение $\text{Cs}_3\text{Sb}_2\text{I}_9$ принадлежит семейству $\text{A}_3\text{B}_2\text{X}_9$, где $\text{A} = \text{Cs}, \text{Rb}, \text{K}, \text{Tl}, (\text{NH}_4)$; $\text{B} = \text{Bi}, \text{Sb}, \text{W}, \text{Mo}, \text{Fe}, \text{V}, \text{Ti}, \text{Cr}$; $\text{X} = \text{Cl}, \text{Br}, \text{I}$ [1]. В кристаллических структурах соединений этого семейства атомы A и X формируют плотноупакованные атомные слои состава AX_3 , которые располагаются друг под другом по законам кубической или гексагональных плотнейших упаковок [1]. Две трети X₆-октаэдров плотнейшей упаковки заняты атомами B. Большинство структур относится к гексагональной сингонии, в которой выделяются гексагональные и тригональные политипные модификации в соответствии с упаковкой AX_3 -слоев (рис. 1, а и б) [1—3].

В [1] методами монокристального рентгеноструктурного анализа исследованы изоструктурные соединения $\text{Cs}_3\text{Sb}_2\text{I}_9$ и $\text{Cs}_3\text{Bi}_2\text{I}_9$, кристаллизующиеся в гексагональной политипной модификации (пр.гр. $P\bar{6}_3/mmc$), в которой AX_3 -слои образуют гексагональную упаковку типа *hcc* (см. рис. 1, а). Авторы [4] установили для $\text{Cs}_3\text{Sb}_2\text{I}_9$ существование тригональной модификации (пр.гр. $P\bar{3}m1$), в которой AX_3 -слои образуют кубическую плотнейшую упаковку (см. рис. 1, б). Уточнение тригональной структуры $\text{Cs}_3\text{Sb}_2\text{I}_9$ методом полнопрофильного анализа рентгенодифракционного спектра было выполнено в [4] до $R = 0,14$. Таким образом, для $\text{Cs}_3\text{Sb}_2\text{I}_9$ известно существование гексагональной и тригональной политипных модификаций.

В [5] на основании изучения ряда физических свойств для кристаллов $\text{Cs}_3\text{Sb}_2\text{I}_9$ установлены два низкотемпературных фазовых перехода при 85,3 и 72,6 К. Ранее низкотемпературный фазовый переход (при 220 К) был обнаружен для гексагональной модификации $\text{Cs}_3\text{Bi}_2\text{I}_9$ [6]. Исходя из аналогии изменения физических свойств и ЯКР спектров вблизи температур фазового перехода для

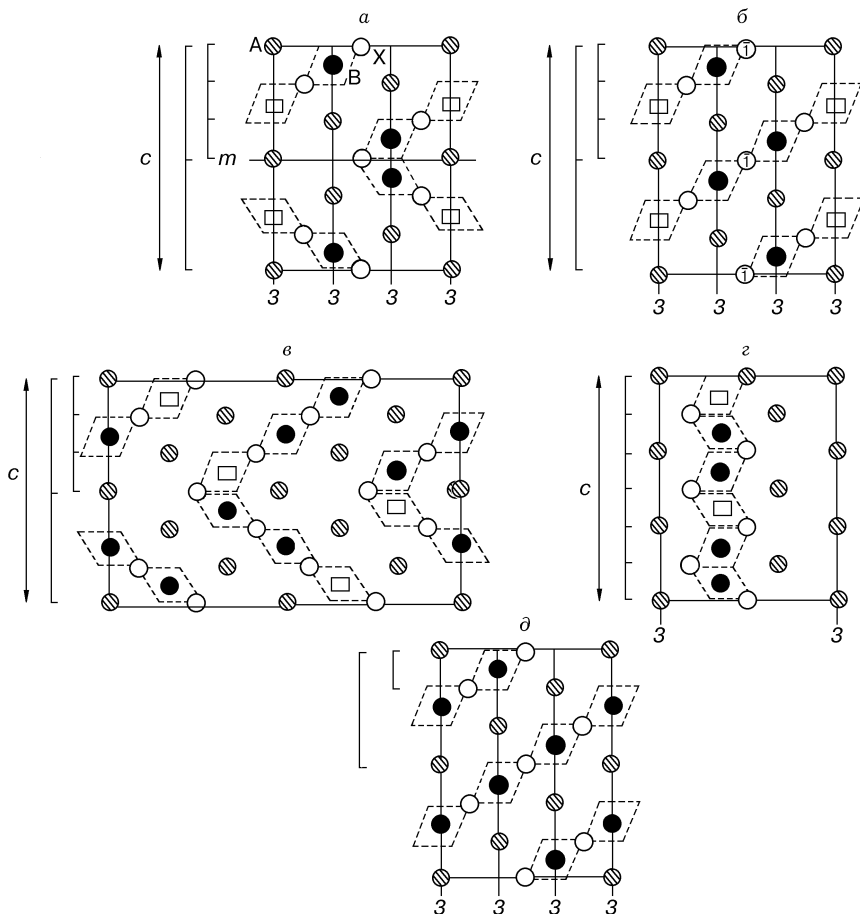


Рис. 1. Структурные типы семейства $A_3B_2X_9$ и структура перовскита.

Представлены аналогичные сечения вдоль оси 3 плотнейшей упаковки. Маленькими и большими квадратными скобками обозначены минимальные (единичные) и утроенные перовскитовые фрагменты соответственно. Стрелками указаны параметры идентичности в направлении c : a — сечение (110) гексагональных модификаций с (hcc)-типом упаковки AX_3 -слоев; последовательности σPO ($m, 1, 1, \dots$) и (m, \dots) для единичных и утроенных фрагментов соответственно; b — сечение (110) тригональных перовскитоподобных модификаций с (c, \dots)-типом упаковки AX_3 -слоев; последовательность $\sigma PO (1, \dots)$ для утроенных фрагментов; c — сечение (130) ромбической модификации с (h, c, c, \dots)-типом упаковки AX_3 -слоев; утроенные фрагменты связаны плоскостью n в направлении оси c ; g — сечение (100) гексагональной модификации с (h, \dots)-типом упаковки AX_3 -слоев; последовательности $\sigma PO (m, \dots)$ для единичных фрагментов; d — сечение вдоль оси 3 кубической структуры перовскитового типа; последовательности $\sigma PO (m, \dots)$ и для единичных, и для утроенных фрагментов

$Cs_3Sb_2I_9$ и $Cs_3Bi_2I_9$ авторы [5] сделали вывод об изоструктурности этих двух соединений и их принадлежности к изученной в [1] гексагональной политипной модификации. Предварительные рентгенодифракционные данные, полученные нами на порошковых образцах, указали на принадлежность исследованных в [5] кристаллов $Cs_3Sb_2I_9$ к тригональной модификации.

Отсутствие к настоящему времени достаточно точных характеристик структуры тригональной модификации $Cs_3Sb_2I_9$ при комнатной температуре в связи с обнаруженными в ней низкотемпературными фазовыми переходами стимулировали проведение монокристалльных структурных исследований. Рассмотрение структурных типов в группе $A_3B_2X_9$ как представителей одного структурного семейства

с использованием группового анализа *OD*-теории Дорнбергер-Шифф [7] составляет вторую часть этой работы.

ЭКСПЕРИМЕНТ

Метод получения исследуемых монокристаллов описан в [5]. Для уточнения кристаллической структуры тригональной модификации $\text{Cs}_3\text{Sb}_2\text{I}_9$ из монокристаллической пластиинки ($\sim 0,5$ см в плоскости при толщине ~ 1 мм) непосредственно после ее охлаждения в жидким азотом был вырезан плоский образец. Форма кристалла, которая в дальнейшем использовалась для ввода поправки на поглощение, описывалась следующими гранями и расстояниями от них до центра кристалла: для (100), (-100), (010) и (0-10) — 0,085 мм; для (001) и (00-1) — 0,01 мм. Отметим пластичность и легкую деформируемость кристаллов, которые сохраняются и после охлаждения жидким азотом.

Рентгенодифракционные эксперименты проводились при $T = 283$ К на дифрактометре Syntex P1 ($\lambda\text{Mo}K_{\alpha}$, графитовый монохроматор, $2\theta/\theta$ -метод сканирования). Структурные расчеты выполняли с использованием комплекса программ AREN [8]. Поправка на поглощение ($\mu = 173 \text{ см}^{-1}$) вводилась методом численного интегрирования для кристалла с заданной формой с последующей коррекцией по программе DIFABS [9]. Основной экспериментальный набор интегральных интенсивностей был получен для половины сферы обратного пространства ($\sin \theta/\lambda < 0,89 \text{ \AA}^{-1}$) и состоял из 1241 отражения, превышающих $3\sigma(I)$. После отбраковки рефлексов с асимметричным профилем (блочность и деформация кристалла) и усреднения эквивалентов в уточнении использовалось 246 независимых отражений. *R*-факторы усреднения F_{hkl} эквивалентных отражений — 0,14 и 0,077 до и после ввода поправки на поглощение соответственно. Параметры гексагональной элементарной ячейки уточняли по 15 рефлексам, они имели следующие значения: $a = 8,435(7)$, $c = 10,390(7) \text{ \AA}$. Интенсивности отражений типа $-h + k + l = 3n$ (n — целое) были существенно сильнее остальных, что указывало на псевдо *R*-центровку гексагональной ячейки.

Стартовые значения координат атомов для уточнения структуры были взяты из [4] для центросимметричной пр.гр. $P\bar{3}m1$. В этой группе атомы Cs и I занимают по две кристаллографически независимых позиций, одна из которых для каждого сорта атомов расположена в центре инверсии. Атомам Sb отвечает одна независимая позиция. Достаточно высокие значения изотропных тепловых параметров для атомов Cs при высоком значении фактора достоверности ($R = 0,14$) первоначально послужили причиной перехода в ацентричную пр.гр. $P\bar{3}m1$.

Уточнение структуры в ацентричной пр.гр. $P\bar{3}m1$ снизило фактор достоверности от 0,14 до 0,08 благодаря смещению атома Cs (на $0,21 \text{ \AA}$) из псевдоцентра инверсии вдоль оси 3. При этом изотропный тепловой параметр этого атома уменьшился от 6,1 до $5,6 \text{ \AA}^2$. Значения координат атомов, полученные после полного уточнения структуры до $R = 0,053$ в анизотропном приближении их тепловых колебаний в пр.гр. $P\bar{3}m1$, приведены в табл. 1. Как видно из таблицы, координаты остальных независимых атомов практически сохранили свое центросимметричное расположение.

Для проверки ацентричности модели был проведен тест на генерацию второй гармоники лазерного излучения (импульсный ИАГ: NB-лазер, схема "на отражение", температура эксперимента $T = 290$ — 273 К; экспериментатор — С.Ю. Степанович). Отсутствие второй гармоники указало на центросимметричность исследуемого кристалла.

Т а б л и ц а 1

Координаты и тепловые параметры (\AA^2) атомов в ацентричном варианте структуры $\text{Cs}_3\text{Sb}_2\text{I}_9$ (пр.гр. $P\bar{3}m1$)

Атом	x/a	y/b	z/c	$B_{изо}$	$B_{экв}$
Cs(1)	0	0	0,0201(8)	5,6(3)	5,9(5)
Cs(2)	1/3	2/3	0,6715(9)	6,3(4)	5,9(6)
Cs(3)	2/3	1/3	0,3280(9)	6,0(3)	5,6(5)
Sb(1)	1/3	2/3	0,1932(8)	3,4(2)	2,7(4)
Sb(2)	2/3	1/3	0,8126(8)	2,4(2)	2,5(4)
I(1)	0,8327(4)	0,6654(6)	0,6615(4)	4,09(2)	5,9(4)
I(2)	0,664(1)	0,8320(7)	0,3383(5)	5,04(2)	5,7(4)
I(3)	0,002(2)	0,5009(9)	0	5,6(1)	6,1(4)

думого кристалла с вероятностью 0,98, что послужило причиной возвращения к уточнению структуры в центросимметричной пр.гр. $P\bar{3}m1$.

Уточнение структуры в центросимметричном варианте с учетом анизотропии тепловых колебаний снизило фактор достоверности до 0,085. Совершенная спайность по плоскости (001) и пластичность пластиинок обусловливали присутствие в кристалле разориентированных блоков (максимальная ширина отражений по ω при $2\theta = \text{const} - 2,0 - 2,5^\circ$) и их деформацию (максимальная ширина отражений по 2θ при $\omega = \text{const} - 3,0 - 4,5^\circ$). Учитывая это качество кристалла, уточнялись анизотропные коэффициенты приведения к общей шкале ($K11 = 1,05$, $K22 = 1,02$, $K33 = 0,53$, $K12 = 0,48$, $K13 = -0,03$, $K23 = 0,05$) в сочетании с изотропным параметром экстинкции ($E = 0,0000012$). На этом этапе фактор достоверности определения структуры составил $R = 0,062$. Использование программы DIFABS для коррекции учета поглощения с последующим переуточнением структуры в анизотропном приближении тепловых колебаний атомов привели к фактору достоверности $R_F = 0,059$ ($R_w = 0,054$, весовая схема — $w = 1/\sigma_F^2$). Окончательные координаты атомов, анизотропные тепловые факторы и межатомные расстояния, соответствующие центросимметричной модели структуры, приведены в табл. 2—4.

Сопоставление центросимметричного и ацентричного вариантов структуры по значениям факторов достоверности (0,059 и 0,053) не позволяет отдать предпочтение одному из них. Как видно из сопоставления табл. 1—3 относительные координаты всех атомов, кроме Cs в центре инверсии, отличаются меньше, чем на 0,002, а высокие значения эквивалентных тепловых параметров меньше в ацентричном варианте. Эти данные при низком качестве кристалла и высокой тепловой под-

Т а б л и ц а 2

Координаты и тепловые параметры (\AA^2) атомов в центросимметричном варианте структуры $\text{Cs}_3\text{Sb}_2\text{I}_9$ (пр.гр. $P\bar{3}m1$)

Атом	x/a	y/b	z/c	$B_{изо}$
Cs(1)	0	0	0	6,1(1)
Cs(2)	2/3	1/3	0,3257(7)	4,8(3)
Sb	2/3	1/3	0,8096(3)	2,8(2)
I(1)	0	1/2	0	4,7(2)
I(2)	0,6647(4)	0,8323(5)	0,3392(4)	4,5(2)

Таблица 3

*Анизотропные тепловые параметры атомов ($\times 10^3$)
в структуре $\text{Cs}_3\text{Sb}_2\text{I}_9$ (центросимметричный вариант)*

Атом	B_{11}	B_{22}	B_{33}	B_{12}	B_{13}	B_{23}	B_{32}
Cs(1)	375	375	117	375	0	0	7,2(3)
Cs(2)	379	379	101	379	0	0	6,9(4)
Sb	236	236	20	236	0	0	3,7(2)
I(1)	423	423	106	532	58	-59	7,0(2)
I(2)	298	372	78	298	-106	-53	6,1(2)

Таблица 4

*Межатомные расстояния (\AA) в полиздрах структуры $\text{Cs}_3\text{Sb}_2\text{I}_9$
(центросимметричный вариант)*

Cs-кубоктаэдры	
Cs(1)—I(1) 4,228(2) \times 6	Cs(2)—I(1) 4,162(3) \times 3
-I(2) 4,285(2) \times 6	I(2) 4,230(1) \times 6
$\langle 4,256 \rangle$	I(2) 4,233(4) \times 3
Sb-октаэдр	
Sb—I(2) 2,874(3) \times 3	
I(1) 3,137(3) \times 3	

вижности всех атомов также не позволяют сделать однозначное заключение относительно центра инверсии. Решающим аргументом в пользу выбора центросимметричной пространственной группы послужило отсутствие генерации второй гармоники лазерного излучения. В пользу центросимметричного выбора свидетельствуют и полученные в [5] ЯКР спектры, указывающие на две независимые позиции атомов I (в ацентричном варианте их три, см. табл. 1 и 2).

ТРИГОНАЛЬНАЯ МОДИФИКАЦИЯ — ВАРИАНТ СТРУКТУРЫ ДЕФЕКТНОГО ПЕРОВСКИТА

Полученная кристаллическая структура тригональной модификации приведена на рис. 2 в проекции вдоль оси a . На рис. 1, б показано схематическое представление сечения рассматриваемой структуры плоскостью (110). Как видно из сопоставления рис. 1, б и 1, д, она принадлежит к структурному типу перовскита ABX_3 , отличается от него наличием упорядоченно расположенных вакансий в B -подрешетке и отвечает формуле $\text{AB}_{2/3}\text{X}_3$, где $\text{A} = \text{Cs}$, $\text{B} = \text{Sb}$, $\text{X} = \text{I}$. На рис. 3 схема фрагмента структурного типа тригональной модификации в виде псевдокубической перовскитоподобной ячейки сопоставлена с кубической ячейкой перовскита. Слои пустых и заполненных атомами SbI_6 -октаэдров чередуются вдоль одной из четырех пространственных диагоналей псевдокубической подъячейки в отношении 1:2. Таким образом, только одна из этих четырех диагоналей является осью 3. Пересчитанные параметры псевдоромбического $(a' = 5,976 \text{ \AA}, \alpha = 89,78^\circ)$ показывают его близость к псевдокубической перовскитовой ячейке (см. рис. 3).

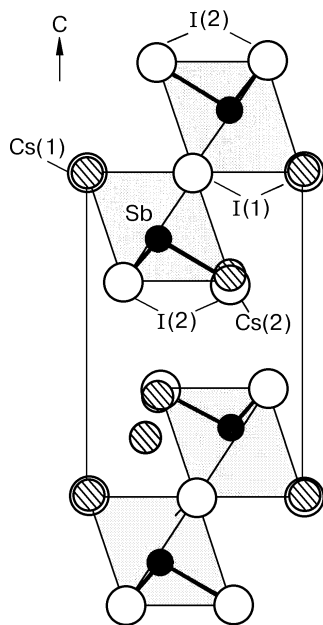


Рис. 2. Схема проекции вдоль [100] элементарной ячейки тригональной модификации $\text{Cs}_3\text{Sb}_2\text{I}_9$ по полученным данным. Жирными линиями показаны сокращенные межатомные расстояния

Как и в первовските, для всех атомов $A(\text{Cs})$ КЧ = 12, а для $B(\text{Sb})$ КЧ = 6. Кубоктаэдры атомов $\text{Cs}(l)$ несколько вытянуты вдоль оси 3 при среднем расстоянии $\text{Cs}(l)-\text{I}$ $\langle 4,256 \rangle \text{ \AA}$. Во втором кубоктаэдре $\text{Cs}(2)$ смещен по оси 3 из центра в сторону $\text{I}(1)$ с образованием трех более коротких расстояний $\text{Cs}(2)-\text{I}(l)$ $4,162 \text{ \AA}$ при среднем значении $\langle 4,214 \rangle \text{ \AA}$. Атомы Sb смещены из центров своих октаэдров на $0,216 \text{ \AA}$. При этом образуются три укороченных $\text{Sb}-\text{I}(2)$ расстояния $2,874 \text{ \AA}$ и три удлиненных $\text{Sb}-\text{I}(l)$ $3,137 \text{ \AA}$ (см. табл. 4).

В отличие от первовскитовой в рассматриваемой структуре связанные вершинами октаэдры SbI_6 образуют не каркас, а двухэтажные слои состава $[\text{Sb}_2\text{I}_9]$, перпендикулярные оси 3 (см. рис. 1, б и 2). Смещения атомов Sb из центров октаэдров происходят от центра к периферии слоя с образованием более длинных связей с мостиковыми атомами $\text{I}(1)$ и более коротких связей с концевыми атомами $\text{I}(2)$.

Между этими октаэдрическими слоями, которые можно рассматривать как относительно жесткий фрагмент структуры, сильные химические взаимодействия отсутствуют, поскольку таковым отвечают только расстояния в SbI_6 -октаэдрах (см. табл. 4). Расстояния $\text{Cs}-\text{I}$ изменяются в интервале $4,162-4,285 \text{ \AA}$ (сумма ионных и атомных радиусов $4,08$ [10] и $4,00 \text{ \AA}$ [11] соответственно) и в среднем превышают расстояния $\text{I}-\text{I}$ ($4,137-4,272 \text{ \AA}$), что указывает на слабые взаимодействия между атомами Cs и I . Указанные особенности химических взаимодействий объясняют высокую пластичность кристаллов и совершенную спайность по (001), совпадающую с плоскостью структурных слоев.

Отсутствие прочных химических связей подтверждается и высокими значениями тепловых параметров атомов, особенно Cs и I (см. табл. 2, 3).

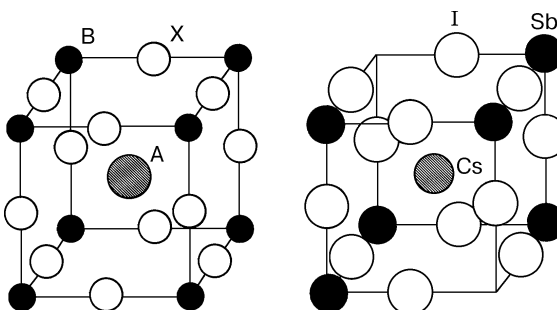


Рис. 3. Сравнение кубической первовскитовой ячейки (а) и идеализированного фрагмента тригональной первовскитоподобной структуры с упорядоченными вакансиями в B -подрешетке (б).

Кубические (ромбоэдрические) трансляции в последнем случае нарушаются только для атомов B

СОПОСТАВЛЕНИЕ ГЕКСАГОНАЛЬНОГО И ТРИГОНАЛЬНОГО ПОЛИТИПОВ $\text{Cs}_3\text{Sb}_2\text{I}_9$

Представляет интерес сопоставление структуры перовскитоподобной тригональной модификации, исследованной в настоящей работе, и структуры гексагональной модификации $\text{Cs}_3\text{Sb}_2\text{I}_9$ по данным [1]. Схемы сечений плоскостью (110) этих двух структур показаны на рис. 1, б и 1, а соответственно. На схемах атомы Sb расположены в центре октаэдров, в то время как в реальных структурах они смещены к концевым атомам I в обоих случаях. Принципиальное отличие структур заключается в характере объединения SbI_6 -октаэдров. Октаэдры, связанные по общей грани в дискретные пары состава $[\text{Sb}_2\text{I}_9]$, характеризуют гексагональную модификацию. Связь октаэдров по вершинам с образованием двумерно-периодических слоев того же состава реализуется в тригональной модификации. Относительно жесткие элементы структуры в первом случае изолированы друг от друга, что предопределяет достаточно изотропный характер химических связей: согласно [1] кристаллам гексагональной модификации удалось придать форму эллипсоида вращения с осями 0,19 и 0,128 мм путем обкатывания. Во втором случае жесткими элементами в структуре являются слои. Это приводит к резкой анизотропии химических взаимодействий и отмеченной выше ярко выраженной совершенной спайности в кристаллах. В обеих модификациях образуются три короткие связи атомов Sb с концевыми атомами I, их длина в обоих случаях — 2,87 Å. Это свидетельствует о том, что эти связи достаточно устойчивы и инвариантны относительно политипных модификаций этого соединения. Связи атомов Sb с мостишковыми атомами I заметно короче в тригональной модификации (3,137 Å), чем в гексагональной (3,198 Å), при меньшем угле I—Sb—I в последнем случае. Это указывает на взаимное отталкивание атомов Sb при объединении октаэдров по общей грани. Отмеченные различия в строении Sb-октаэдров, возникающие вследствие различных способов их объединения, приводят к закономерным изменениям в соответствующих параметрах гексагональных ячеек двух модификаций. Гексагональному политипу отвечает меньшее значение параметра a и большее значение параметра c' при близких соответствующих объемах элементарной ячейки: $a_{\text{гекс}} = 8,349$, $a_{\text{триг}} = 8,435$ Å; $c'_{\text{гекс}} = c_{\text{гекс}}/2 = 10,468$, $c_{\text{триг}} = 10,390$ Å; $V_{\text{триг}} = 151,8$, $V'_{\text{гекс}} = V_{\text{гекс}}/2 = 151,4$ Å³.

Первый низкотемпературный фазовый переход в тригональной модификации наблюдается в районе 90 К [5]. Для гексагональной модификации этого соединения данные о низкотемпературных превращениях в литературе не обнаружены, но для изоструктурного соединения $\text{Cs}_3\text{Bi}_2\text{I}_9$ такие превращения наблюдаются при существенно более высокой температуре 220 К [6]. Можно предположить, что и для $\text{Cs}_3\text{Sb}_2\text{I}_9$ гексагональная модификация будет иметь фазовый переход при более высокой температуре, чем тригональная, поскольку дискретные группы в гексагональной модификации скорее всего более мобильны, чем двумерно-периодические жесткие структурные модули в тригональной фазе.

OD-СЕМЕЙСТВА СОЕДИНЕНИЙ $\text{A}_3\text{B}_2\text{X}_9$

Сопоставление двух рассмотренных политипных модификаций $\text{Cs}_3\text{Sb}_2\text{I}_9$ с другими структурами семейства $\text{A}_3\text{B}_2\text{X}_9$, приведенными в [1], показывает, что все они состоят из двумерно-периодических структурных модулей, представляющих собой слоевые фрагменты структуры перовскита, ограниченные по оси 3 плотноупакованными AX_3 -слоями (см. рис. 1). Минимальный (единичный) фрагмент состоит из двух таких слоев, между которыми в X_6 -октаэдрах расположены B-атомы (см. рис. 1, д). Во всех структурах семейства 1/3 X_6 -октаэдров вакантна, но упорядочение вакансий различно (см. рис. 1, а — г). Любые два соседних перовскитовых фрагмента разделяют общий граничный AX_3 -слой. Если не принимать во внимание упорядочение вакансий в X_6 -октаэдрах, то можно сказать, что соседние перов-

скитовые фрагменты связаны друг с другом одним из двух локальных элементов симметрии: зеркальной плоскостью m , перпендикулярной оси чередования фрагментов, или центром инверсии, лежащим в плоскости граничного AX_3 -слоя (см. рис. 1). С помощью последовательности чередования этих локальных элементов симметрии, связывающих единичные первоскитовые фрагменты, можно описать все возможные модификации (включая и гипотетические). Такие структурные семейства удобно рассматривать с помощью OD -теории, разработанной Дорнбергер-Шифф [7], и в дальнейшем получившей развитие в большом ряду работ (например, [12–14]). (Аббревиатура OD происходит от первых букв английского словосочетания Order—Disorder — порядок—беспорядок, что отражает единообразное описание периодических и апериодических структур определенного типа). Согласно этой теории, структуры, образованные из идентичных структурных модулей (ноль-, одно- или двумерно-периодических) описываются с помощью OD -группоида.

OD -группоид для структур, образованных двумерно-периодическими модулями, состоит из двух групповых обозначений: первое соответствует симметрии слоя (λ -операции), причем направление чередования слоев (или направление нарушаемой периодичности по [7, 12]) указывается в круглых скобках; второе описывает все возможные операции симметрии (σ -операции), связывающие два соседних слоя в направлении их чередования. Операции локальной или частичной симметрии (PO — partial operation по [7, 12]), связывающие слоевые модули, могут и не являться элементами симметрии структуры в целом. В отличие от пространственной группы, OD -группоид симметрийно описывает не отдельную структуру, а структурное многообразие в группе путем указания правила образования ее членов, каждый из которых характеризуется своей определенной последовательностью чередования σ -операций (σPO). Если последовательность σPO периодична, то соответствующая структура упорядочена, т.е. имеет период вдоль направления чередования слоев. В противном случае структура разупорядочена в этом направлении. Согласно [12] структуры семейства, характеризующиеся последовательностью σPO , которая состоит только из одной σ -операции, называются MDO -структурами. Например, если соседние слои в OD -семействе могут быть связаны между собой одной из двух операций осью 2 или плоскостью m (две σ -операции), то две структуры, соответствующие последовательностям σPO (2,...) и (m ,...), являются структурами с максимальным порядком чередования σ -операций и обозначаются MDO_1 и MDO_2 . Количество структур MDO -типа в OD -семействе равно количеству σ -операций. В [12] отмечено также, что в каждом семействе существуют структуры, в которых можно выделить одинаковые сочетания в последовательности PO , отвечающие объединению единичных слоев в двойки, тройки и т.д. Другими словами, в OD -семействе можно выделить подмножество структур, для которых в качестве размножаемого операции σPO элемента можно рассматривать не единичный слой, а сдвоенный (утроенный и т.д.). В этих подсемействах также можно рассмотреть MDO -структуры.

В рассматриваемом семействе $\text{A}_3\text{B}_2\text{X}_9$, если не учитывать упорядочение вакансий в X_6 -октаэдрах, описанные единичные первоскитовые фрагменты с симметрией $P3m1$ связаны между собой либо плоскостью m , либо центром инверсии. OD -группоид такого семейства имеет вид:

$$\begin{aligned} & P(3)m1 \\ & \{(1/m)11\}. \end{aligned} \tag{1}$$

Приведенный OD -группоид, размножающий единичный первоскитовый фрагмент, фактически описывает многообразие гексагональных структур, производных от первоскита, в которых или нет вакансий ни в одной подрешетке, или они распределены статистически в любой из них. В этом случае сгенерированные

структурные типы полностью отражают только вариации плотнейших упаковок AX₃-слоев. Последовательности чередования σPO , связывающих двухслойные перовскитовые фрагменты, полностью аналогичны последовательностям чередования гексагональных и кубических слоев в структуре. Это следует из того, что в AX₃-слой *c*-типа расположен центр инверсии, связывающий два соседних слоя, а AX₃-слой *h*-типа является локальной плоскостью симметрии для соседних с ним слоев. Например, плотнейшей упаковке типа (*h*, *c*, *c*, ...) в Cs₃Bi₂Cl₉ и в гексагональных модификациях 17 соединений [1] соответствует последовательность чередования σPO (*m*, 1, 1,...) (см. рис. 1, *a*, *b*). Упаковка типа (*h*,...) в Cs₃Tl₂Cl₉ отвечает последовательность σPO (*m*,...) (см. рис. 1, *z*), а кубической упаковке (*c*,...) в тригональной модификации Cs₃Sb₂I₉ (и еще трех соединений [1]) — последовательность σPO (1,...) (см. рис. 1, *b*). Кроме приведенных на рис. 1 трех известных вариантов плотнейших упаковок AX₃-слоев теоретически возможны и любые другие. При этом структура типа перовскита (см. рис. 1, *b*, *d*) является MDO₁-структурой, так как ей соответствует последовательность σPO (1,...), а структура Cs₃Tl₂Cl₉ (см. рис. 1, *z*) — MDO₂.

Разнообразие структурных типов в семействе A₃B₂X₉ определяется не только вариациями плотнейших упаковок AX₃-слоев, но и упорядоченным распределением В-атомов в 2/3 X₆-октаэдров. В большинстве случаев (согласно [1]) известные соединения указанного семейства относятся к гексагональной и тригональной модификациям, описанным выше для Cs₃Sb₂I₉. В этих модификациях можно выделить более крупные фрагменты структуры перовскита уже с упорядоченным и идентичным распределением вакансий в В-позициях. Эти фрагменты состоят из трех единичных слоев, связанных ограниченной последовательностью σPO (1, 1), причем два единичных фрагмента с полностью занятymi BX₆-октаэдрами разделены фрагментом с полностью вакантными BX₆-октаэдрами (см. рис. 1, *a* и *b*). Утроенные перовскитовые фрагменты содержат четыре плотноупакованных AX₃-слоя и в три раза толще единичных двухслойных (см. рис. 1, *d*). В гексагональной модификации они связаны между собой плоскостью *m*, а в тригональной — центром инверсии (см. рис. 1, *a*, *b*).

Поскольку симметрия единичных и утроенных фрагментов одинакова, OD-группоид (1) можно использовать и для генерации структурных типов на основе последних.

В этом случае тригональные перовскитоподобные модификации (см. рис. 1, *b*) полностью описываются последовательностью σPO (1,...); им отвечает кубическая упаковка AX₃-слоев и период гексагональной ячейки *c* = 3*c'* (*c'* — толщина единичного перовскитового фрагмента). Гексагональные модификации (см. рис. 1, *a*) описываются последовательностью σPO (*m*,...); AX₃-слои образуют *hcc*-плотнейшую упаковку; период *c* = 6*c'*. Исходя из того, что из описанных утроенных фрагментов состоят наиболее распространенные модификации в семействе A₃B₂X₉, можно предположить существование структур и с другими периодическими последовательностями σPO , связывающими эти фрагменты, например (1,*m*,...) или (1,*m*, *m*,...), а также и с отсутствием периода в последовательности σPO . Последний вариант следует ожидать для кристаллов, образовавшихся в условиях, далеких от равновесных.

Рассмотренный вариант упорядоченного распределения В-атомов в X₆-октаэдрах утроенного перовскитового фрагмента не является единственным возможным. В ромбической модификации Cs₃Bi₂Cl₉ упорядочение BiCl₆-октаэдров подчинено ромбической пр.гр. *Pmcn* (*a*_{орг} = *a*_{гекс}, *b*_{орг} = *a*_{гекс} $\sqrt{3}$, *c*_{орг} = *c*_{гекс}) [1] с λ-операциями утроенного перовскитового слоя *Pmc*(1) (см. рис. 1, *v*). В этой структуре два соседних таких фрагмента с учетом упорядочения В-атомов связаны

вдоль оси чередования плоскостью n . Отсутствие других известных модификаций, построенных из таких же перовскитовых фрагментов, не позволяет достаточно обоснованно описать возможное OD -семейство.

Возможны, вероятно, и другие варианты упорядочения В-атомов в производных от перовскита структурах семейства $A_3B_2X_9$ с различными типами плотнейших упаковок AX_3 -слоев.

ВЫВОДЫ

Выполненное уточнение структуры тригональной модификации $Cs_3Sb_2I_9$ показало, что она принадлежит к структурному типу перовскита с упорядоченными вакансиями в B -подрешетке и кристаллизуется в пр.гр. $P\bar{3}m1$ с параметрами элементарной ячейки $a = 8,435(7)$, $c = 10,390(7)$ Å.

Атомы $Cs(1)$, находящиеся в центре инверсии, обладают высокой тепловой подвижностью.

Структура характеризуется относительно жесткими слоевыми структурными модулями состава $[Sb_2I_9]$, состоящими из соединенных вершинами SbI_6 -октаэдров. Отсутствие сильных взаимодействий как между этими слоями, так и между атомами Cs и I при высокой тепловой подвижности всех атомов структуры предопределяет низкотемпературные фазовые переходы, обнаруженные в [5].

Известные структурные типы в группе $A_3B_2X_9$ рассмотрены с привлечением теории OD -структур Дорнбергер-Шифф [7] как состоящие из перовскитовых двумерно-периодических фрагментов, связанных между собой в третьем направлении одной из двух операций симметрии: центром инверсии или плоскостью m . С помощью OD -группоида описаны возможные OD -семейства структур этой группы.

Структурное многообразие в семействах определяется двумя факторами: возможностью двух способов связи между перовскитоподобными фрагментами и вариациями упорядоченного распределения в них В-атомов.

Авторы благодарят С.Ю. Стефановича за проведение теста генерации второй гармоники, Е.Л. Белоконеву, И.П. Александрову и В.И. Симонова за плодотворное обсуждение результатов.

Работа выполнена при поддержке Национального научного фонда Швейцарии (Swiss National Science Foundation, грант N SUPJ 048718), получение кристаллов поддержано Российским фондом фундаментальных исследований (грант № 96-02-16542).

СПИСОК ЛИТЕРАТУРЫ

- Chabot B., Parthe E. // Acta Crystallogr., Sect. B. – 1978. – **34**. – P. 645 – 648.
- Arakcheeva A.V., Novikova M.S., Rastsvetaeva R.K. et al. // Abstracts of Seminar "Structure and properties of Crystalline Materials". P. 36. Dubna. Russia. March 4–6, 1997.
- Arakcheeva A.V., Novikova M.S., Rastsvetaeva R.K. et al. // Structure and properties of crystalline materials. Proceedings of a Workshop held in Dubna, March 4–6, 1997.
- Кун С.В., Лазарев В.Б. и др. // Изв. РАН. Неорган. материалы. – 1993. – № 3. – С. 410 – 413.
- Александрова И.П., Суховский А.А. и др. // Физика твердого тела. – 1997. – **39**, № 5. – С. 946 – 949.
- Мельникова С.В., Зайцев А.И. // Там же. – 1997. – **39**, № 10. – С. 1850 – 1855.
- Dornberger-Schiff K. // Abh. Deutsch. Akad. Wiss. Berlin. – 1964. – **3**. – S. 1 – 107.
- Андреанов В.И. // Кристаллография. – 1989. – **34**, № 6. – С. 592 – 599.
- Walker N., Stuart D. // Acta Crystallogr., Sect. A: Found. Crystallogr. – 1983. – **39**. – P. 158 – 166.
- Shannon R.D. // Ibid. – 1976. – **32**. – P. 751 – 760.
- Slater J.C. Symmetry and energy bands in crystals. Chapter 3 and 4. – N.Y.: Dover, 1972.
- Dornberger-Schiff K. // Acta Crystallogr. – 1982. – **A38**. – P. 483 – 498.

13. Merlino S. // Per. Mineral. – 1990. – **59**. – P. 69 – 92.
14. Белоконева Е.Л., Димитрова О.В., Корчемкина Т.А., Стефанович С.Ю. // Кристаллография. – 1998. – № 5. – С. 864 – 873.

*Институт металлургии РАН
Москва
Институт кристаллографии
РАН Москва
Институт физики
им. Л. В. Киренского СО РАН
Красноярск
E-mail: arakchee@lesr.imet.ac.ru*

*Статья поступила
3 июня 1998 г.*
